



تقدير انمودج انحدار كما الممتد مع تطبيق عملي

أ.م.د. ابتسام كريم عبود الباحث سهاد فيصل عبود

مستخلص البحث

بلا شك يعتبر موضوع الانحدار الخطي من المواضيع المهمة التي تطرق إليها الباحثون في بحوثهم معتمدين على فرضية أن الأخطاء العشوائية لها توزيع طبيعي مستخدمين طرائق التقدير التقليدية والبيزية لتقدير معلمات أنمودج الانحدار الخطي ومن ثم المقارنة بين أسلوب التقدير اعتماداً على مقاييس (عدم التحيز - متوسط مربعات الخطأ وذلك بتحليل البيانات الحقيقية في حال توفرها أو استخدام أسلوب المحاكاة لتحديد الأسلوب الملائم للتقدير).

أما في هذا البحث فقد تطرق لموضوع تقدير معلمات أنمودج الانحدار الخطي عندما تكون للأخطاء العشوائية توزيع متعدد المتغيرات كاما المختلط (*Mixed gamma*) وقد تم استخدام بعض طرائق التقدير التقليدية المتمثلة بطريقـة الإمكان الأعظم (*ML*) اذ لا يمكن إيجاد مقدرات صريحة الا بعد اللجوء إلى الخوارزمية التكرارية العددية (*Newton Raphson*) وطريقة المربعات الصغرى والتي تم تعديلها باستعمال خوارزمية (*Nelder Mead*) وخوارزمية الذكاء الصناعي خوارزمية سرب الطيور (*Particle Swarm*).

ومن خلال سير البحث واستخدام أسلوب المحاكاة تم التوصل إلى إن خوارزمية سرب الطيور (*Particle Swarm*) هي أكثر كفاءة من الطرائق الأخرى المستعملة في البحث عند حجوم العينات (٥٠ - ١٠٠ - ١٥٠) أي بازدياد حجم العينة. أما فيما يخص الجانب التطبيقي فقد تم استعمال البيانات الخاصة بالعرض النقطي وهو يمثل المتغير التابع (*Y*) وهو الذي يتوزع (*Mixed gamma*) وبتأثير العوامل الثلاثة (العملة خارج البنوك، المضاعف النقطي، الودائع الجارية) حيث تم التوصل إلى أن جميع هذه المتغيرات تؤثر تأثيراً إيجابياً على المتغير التابع.

المقدمة:

تعد مرحلة وضع البيانات ضمن أنمودج علمي مدرس يناسبها من أهم مراحل التحليل الاحصائي التي تعتمد عليها بقية المراحل وتعرف هذه المرحلة "نمذجة البيانات" والتي عن طريقها استعمال توزيعات احتمالية معروفة لتمثيل بيانات (الظواهر المدروسة) والتنبؤ بها. وقد عمل الباحثون والمختصون في المجال الاحصائي في العقود الأخيرة بشكل واسع وكبير على تطوير هذه التقنية الاحصائية المعروفة "بالتوزيعات الاحتمالية" (*Probability distribution*) والانتقال بها من مرحلة التوزيعات المفردة إلى مرحلة التوزيعات المركبة (*Compound distribution*) أو التوزيعات المختلطة (*Mixed distributions*) أو التوزيعات الموسعة (*Extend distribution*) وذلك يهدف البحث عن أفضل تمثيل للبيانات وبأقل أخطاء ومن ثم خطوة متقدمة اعلى في الدقة عند العمل على إيجاد المقاييس الاحصائية المختلفة كـ (دوا البقاء ، الموثوقية ، المخاطرة الخ) والسبب في ذلك أنه في العديد من البيانات التي يتم الحصول وتمثيلها بيانياً تأخذ أكثر من شكل ومنحنى لتوزيع احتمالي في المدة المدروسة نفسها ، ومن ثم يكون مجتمع الدراسة متكون من مزيج من المجتمعات الجزئية لذا فإن افضلية هذه الأنواع الجديدة من التوزيعات ودقتها عند اجراء حسن المطابقة حسمت افضليتها لتمثيل بيانات الظواهر المدروسة.

اذ يعتبر تحليل الانحدار من أهم الادوات التي تستعمل لبناء نماذج تمثل الظواهر المدروسة وذلك من خلال معرفة العلاقة بين المتغيرات حيث يكون أحد المتغيرات متغير تابع (معتمد) والآخر تكون متغيرات توضيحية (تفسيرية) ومن ثم نقدر معالم الأنمودج وبعدها يمكننا التنبؤ بالظاهرة المدروسة.

ان موارد اعلاه يبين ان محور اهتمام هذا البحث يتعلق بدراسة توزيع (*Mixed Gamma*) وهو مزيج بين توزيعين احدهما (*Gamma*) والآخر (*X Gamma*) بعملية الدمج (*P*) لحد الخطأ العشوائي، اي ان أنمودج الانحدار الخطي يعاني من مشكلة الابتعاد عن التوزيع الطبيعي، من خلال استعمال طرفيتين لتقدير معلمات أنمودج خطى بتوزيع خطأ (*Mixed Gamma*) وهي طريقة المربعات الصغرى (*LS*), وطريقة الامكان الاعظم (*MLE*), لكن في هذه الطرائق تكونت لدينا العديد من المعادلات الالخطية حيث تم إيجاد بعض التقديرات من خلال استعمال طريقة نيوتن العددية



بالإضافة إلى ذلك تم تحسين الأنماذج من خلال استعمال خوارزميات الذكاء الصناعي لتقدير معلمات الأنماذج الانحدار الخطى.

ولتحقيق الغرض والهدف المنشود من هذا البحث تم تقسيمه إلى خمسة مباحث تضمن البحث الأول ، المقدمة والهدف من الدراسة ، والملخص المرجعي لأهم الدراسات التي ناقشت موضوع البحث ، والبحث الثاني تم التطرق فيه إلى الجانب النظري ، إذ يبين فيه توزيع (MG) ، وخصائصه الإحصائية وكذلك عرض طائق التقدير بالإضافة إلى تقدير معلم الأنماذج الانحدار عندما يكون الخطأ العشوائي يتوزع (*Mixed Gamma*) بينما تضمن البحث الثالث الطريقة التجريبية والتي استعمل فيها اسلوب المحاكاة لتوليد البيانات العشوائية عند احجام مختلفة من العينات وقيم مختلفة لمعلمات التوزيع باستعمال طريقة القبول والرفض ومن ثم الحصول على نتائج تقدير معلم الانحدار والتوزيع المختلط عند تلك الحجوم المختلفة والمقارنة لاختيار افضل طريقة من هذه الطائقات وذلك باستعمال المعيار الإحصائي متعدد مربعات الخطأ (MSE) بينما تضمن البحث الرابع البعد الواقعي إذ تم تطبيق التوزيع المختلط على البيانات الحقيقية ، ثم تقدير معادلة الانحدار باستخدام الطريقة الأفضل في الجانب التجربى ، بينما كان البحث الخامس عبارة عن حصيلة من نتائج الباحث وتوصياته.

المبحث الأول/ المنهجية والاستعراض المرجعي

مشكلة البحث:

الشكلة الأساسية لهذا البحث تظهر في حال افتراض ان الخطأ العشوائي لا يتوزع توزيعاً طبيعياً وبمعنى اخر كيفية تقدير معلم الأنماذج الانحدار الخطى بتوزيع خطأ گاما المختلط (MG) اذ لا يمكن الحصول على قيم نهائية لهذه المقدرات إلا عن طريق اللجوء للخوارزميات العددية او خوارزميات الذكاء الصناعي.

هدف البحث:

- تقدير انماذج انحدار گاما المختلط ($MGRM$) بطريقة الامكان الاعظم (MLE) وطريقة المربعات الصغرى (LS) وتحسين هذه المقدرات باستعمال خوارزميات الذكاء الصناعي وتطبيق الطائق المذكورة على بيانات حقيقة.
- دراسة خصائص توزيع گاما المختلط (*Mixed Gamma distribution*) وتقدير معلمته.
- المقارنة بين طائق التقدير باستعمال معيار المقارنة متعدد مربعات الخطأ (MSE)

فرضية البحث:

H_0 : الخطاء العشوائية والمتغير التابع لا يتوزع توزيع طبيعى

H_1 : الخطاء العشوائية والمتغير التابع يتوزع توزيع طبيعى

الاستعراض المرجعي:

انشرت العديد من الكتب والبحوث والدراسات والتي تضمنت دراسة انماذج انحدار گاما المختلط وطائقات تقدير معلماته باستعمال طائقات مختلفة ، فيما يلي نستعرض اهم البحوث حول نماذج انحدار گاما المختلط ($MGRM$) للمرة من (2010-2011) .

في عام ٢٠١١ قام الباحث [7,P.1] (ortega) وأخرون باقتراح توزيع گاما الاسى وهو توزيع مزيج بين توزيعين وهو توزيع گاما والتوزيع الاسى وتوظيف هذا التوزيع بنماذج الانحدار وتم استعمال طريقة الامكان الاعظم وطريقة العزوم لتقدير معلم الانحدار ومعلم التوزيع المقترن فضلاً عن تقدير دالة البقاء وتم التطبيق على البيانات التي تكون فيها قطع والتي تسمى (*censored data*) بالإضافة إلى تطبيق نماذج الانحدار على البيانات الواقعية والتي تمثل أوقات فشل العلاج بالدقائق على المرضى المصابين بضعف الشبكية في العين من خلال تأثير الإصابة بمرض السكري وتوصيل الباحثون إلى ملائمة التوزيع للنماذج افضل من التوزيعات التقليدية والمعتمدة.

في عام ٢٠١٥ اقترح الباحث [5,P.1] (Silva) نموذجاً جديداً معمماً اذ تمت مناقشة بعض الحالات الخاصة واشتقاء بعض الخصائص الرياضية للتوزيع المقترن بما في ذلك الدالة المولدة للعزوم ، والانحرافات المتوسطة ، ودالة المغولية ، والإحصاءات المرتبة. اذ يتم استخدام طريقة الامكان الاعظم لتقدير معلمات النماذج

اما في عام ٢٠١٦ قام الباحث [10,P.1] (sen) وأخرون باقتراح توزيع جديد (توزيع *Xgamma*) ودراسة خصائصه الإحصائية وهو توزيع احتمالي مزيج من التوزيع الاسى وتوزيع گاما اذ تم في هذا البحث اشتقاء الخصائص الإحصائية للتوزيع المقترن مثل المتوسط الحسابي والتبابن ودالة البقاء باستعمال طريقة العزوم وطريقة الامكان الاعظم وتم توليد بيانات عشوائية تتوزع توزيع (*Xgamma*) باستعمال المحاكاة ومن ثم تطبيقه على بيانات حقيقة على أوقات بقاء المرضى الذين يتلقون (analgesic) وتوصل الباحث ان التوزيع المقترن هو افضل ملائمة للبيانات من خلال التوزيع الاسى.



قام الباحث [9,P.1] (Saha وآخرون) في عام ٢٠١٩ بتقديم توزيع جديد يسمى توزيع گاما الممتد *Extended gamma distribution (EXg)* . هذا التوزيع مشتق من توزيع $x\gamma$ (Xg)، وهو خليط محدود خاص من التوزيعات الأسيّة وتوزيع گاما، اذ تم اشتقاق بعض الخصائص الإحصائية المهمة ، أي ، خصائص دالة البقاء ، والانحراف المتوسط وتوليد الأرقام العشوائية. علاوة على ذلك ، وتم تطبيق النموذج المقترن من خلال مجموعة بيانات حقيقية ولاحظ أن النموذج المقترن يمكن اعتباره بدلاً أفضل لبعض توزيعات الحياة.

في عام ٢٠٢٠، قدم الباحث [3,P.1] (Altun وآخرون) امتداداً جديداً للتوزيع گاما ، يسمى توزيع گاما الممتد (المختلط) وهو مزيج بين توزيع $x\gamma$ و γ . اذ تم اشتقاق الخصائص الإحصائية للتوزيع المقترن مثل التباين ، الانحراف المعياري ، ومقاييس التفاطح ، ومنحنى لورنزو ، ومتوسط دالة البقاء. باستعمال طريقة الإمكان الأعظم وطريقة العزوم ، والمربعات الصغرى ، وطرق تقدير المربعات الصغرى الموزونة للحصول على معلمات النموذج غير المعروفة. اذ تم توظيف التوزيع المقترن بنموذج الانحدار حيث يكون المتغير التابع يتوزع توزيع گاما المختلط اذ تم تطبيق هذا الانموذج على البيانات الاكتوارية (جرائم القتل) في عدة دول منها البرازيل وروسيا وجنوب إفريقيا واعتبر متغير جرائم القتل هو المتغير التابع (Y_i) وتأثير فيه متغيرات مستقلة هي معدل البطالة (X_{i1}) ومتغير عدم الأمان (X_{i2})

المبحث الثاني / الجانب النظري

توزيع گاما المختلط (Mixed Gamma distribution) :

النموذج الاحتمالي المختلط هو خليط ناتج عن دمج توزيعين او أكثر ويستعمل عندما تكون الحالة المراد دراستها تتمثل بأكثر من توزيع ويحدث هذا الشيء في مجتمعات غير منسجمة او غير المتاجنة والتي تتضمن في محتواها مجتمعات بسيطة او جزء كل منها يُعد نسبة معينة من المجتمع الأصلي لذلك فان النموذج المختلط هو خلط المجتمعات الجزئية وحسب النسبة لكل مجتمع من مجتمعه الأصلي والنماذج المختلط المدروساً هنا هو من متغيرين عشوائين احدهما يتبع توزيع (XGamma) بمعلمة (P) والآخر يتوزع گاما بمعلمة دمج ($P - 1$) حيث تكون قيم المتغير (y_i) ضمن الفترة $(0, \infty)$ وان معلمة الدمج تساوي [3,P.2]

$$P = \frac{\theta + 1}{\theta + 3} \quad \dots (1)$$

دالة الكثافة الاحتمالية للتوزيع المختلط كما يأتي: [3,P.3]

اذا كان المتغير العشوائي (y) يأخذ شكل توزيع گاما المختلط ذو المعلمتين ف تكون دالة الكثافة الاحتمالية (pdf) له كالتالي:

$$f_{MG} = P f_{x\gamma} + (1 - P) f_{\gamma} \\ f_{MG} = \frac{\theta + 1}{\theta + 3} * \frac{\theta^2}{1 + \theta} \left(1 + \frac{\theta}{2} y^2\right) e^{-\theta y} + \left(1 - \frac{\theta + 1}{\theta + 3}\right) \frac{\theta^\alpha}{\Gamma \alpha} y^{\alpha-1} e^{-\theta y} \dots (2)$$

بعد التبسيط نحصل على:

$$f(y) = \left(\frac{\theta^2}{\theta + 3} + \frac{\theta^3}{2(\theta + 3)} y^2 \right) e^{-\theta y} + \frac{2}{\theta + 3} \frac{\theta^\alpha}{\Gamma \alpha} y^{\alpha-1} e^{-\theta y} \quad I_{(0, \infty)} y ; \theta, \alpha \\ > 0 \quad \dots (3)$$

او يمكن كتابتها بصيغة أخرى:

$$f(y) = \frac{\theta^2 e^{-\theta y} [\Gamma \alpha (2 + \theta y^2) + 4 \theta^{\alpha-2} y^{\alpha-1}]}{2 \Gamma \alpha (\theta + 3)} \quad \dots (4)$$

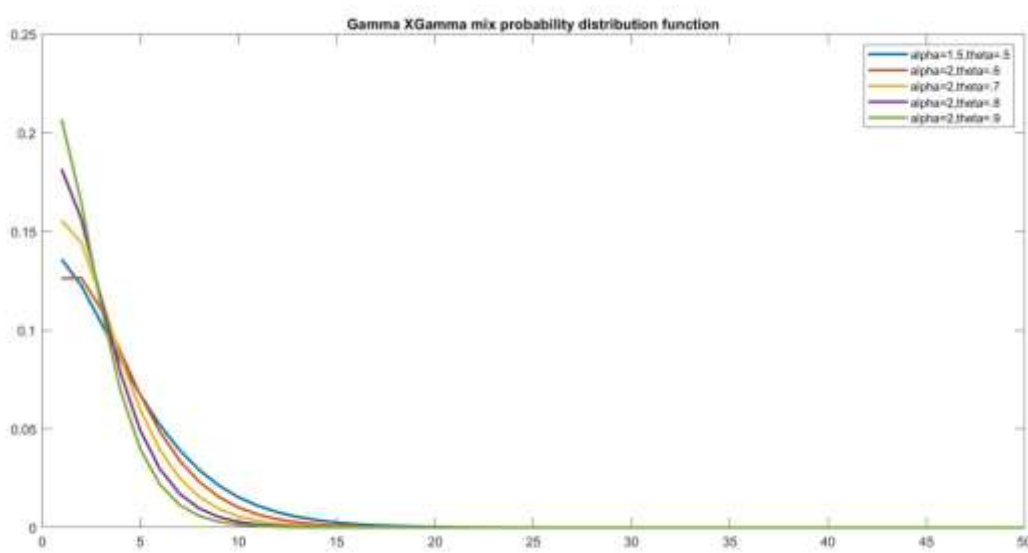
حيث ان:

α : تمثل معلمة الشكل (*Shape Parameter*).

θ : معلمة القياس (*Scale Parameter*)

$\Gamma(\cdot)$: دالة گاما لـ (.)

والشكل الآتي يبين دالة الكثافة الاحتمالية (pdf) للتوزيع گاما المختلط لعدد من المعلمات



الشكل (١) يبين دالة الكثافة الاحتمالية (pdf) لتوزيع گاما المختلط
انموذج الانحدار الخطى العام گاما المختلط

Mixed Gamma General Linear Regression Model (MGGLM)

يمكن تمثيل العلاقة بين المتغير المعتمد (Y_i) و عدد من المتغيرات المستقلة (X_i) وحد الخطأ العشوائي (U_i) بالمعادلة الخطية الآتية:

$$Y_i = \beta_0 + \beta_1 X_{i1} + \beta_2 X_{i2} + \dots + \beta_k X_{ik} + U_i \quad i = 1, 2, \dots, n \quad \dots (5)$$

ويمكن كتابة المعادلة (5) بشكل مختصر وكالاتي:

$$Y_i = \sum_{j=0}^k \beta_j X_{ij} + U_i \quad \begin{cases} i = 1, 2, \dots, n \\ j = 0, 1, 2, \dots, k \end{cases} \quad \dots (6)$$

هذا وان الانموذج يتضمن (1) من معلمات الانحدار المطلوب تقديرها، اذ ان الحد الأول منها (β_0) يمثل الحد الثابت، لذا فمن ناحية المصفوفات والمتغيرات يمكن كتابته كالتالي:

$$\begin{bmatrix} Y_1 \\ Y_2 \\ \vdots \\ Y_n \end{bmatrix} = \begin{bmatrix} 1 & X_{11} & X_{12} & \dots & X_{1k} \\ 1 & X_{21} & X_{22} & \dots & X_{2k} \\ \vdots & \vdots & \vdots & \ddots & \vdots \\ 1 & X_{n1} & X_{n2} & \dots & X_{nk} \end{bmatrix} \begin{bmatrix} \beta_0 \\ \beta_1 \\ \vdots \\ \beta_k \end{bmatrix} + \begin{bmatrix} U_1 \\ U_2 \\ \vdots \\ U_n \end{bmatrix} \quad \dots (7)$$

ويمكن اعادة كتابة المعادلة (7) بصورة مختصرة [1, P.114] وكالاتي:

$$Y = X\beta + U \quad \dots (8)$$

اذ ان:

Y : متغير لمشاهدات المتغير المعتمد ذو بعد ($n * 1$)

X : مصفوفة ذات ابعاد ($k + 1$) ($n * (k + 1)$) لمشاهدات المتغيرات المستقلة.

β : متغير ذو بعد ($k + 1$) لمعلمات الانحدار. علما بأن العنصر الأول منه يمثل الحد الثابت.

U : متغير ذو بعد ($n * 1$) للخطأ العشوائي، والذي يتوزع توزيع گاما المختلط ($U_i \sim MG(\mu, \sigma^2)$)

1 : متغير الوحدة ذو بعد ($n * 1$)

عندما يكون حد الخطأ ذو توزيع MG بالنسبة لـ (MGGLM) فأن توقعه يكون كالاتي:

$$E(U) = \left(\frac{2\alpha + \theta + 3}{\theta(\theta + 3)} \right) \underline{1} = \mu \underline{1} \quad \dots (9)$$



وبما أن توقع الخطأ عبارة عن حد ثابت كما موضح في المعادلة (٩) لذا استوجب ضربه هنا بمتوجه الوحدة $(\underline{1}_{n*1})$ كما موضح في المعادلة (٩) اعلاه، وذلك لأننا سنتعامل في هذه الحالة مع متوجه من الأخطاء العشوائية، لذلك فإن الصيغة التقديرية لأنموذج (٨) ستكون كالتالي:

$$\hat{Y} = E(Y) = X\beta + E(U) \quad \dots (10)$$

$$E(Y) = X\beta + \underline{\mu} \underline{1} \quad \dots (11)$$

طريق التقدير (Estimation Methods)

بما ان الخطأ العشوائي في تقدير معلمات انموذج الانحدار الخطى يبتعد عن الطبيعية حيث يتوزع هنا توزيع MG وبعد أن وضمنا التوزيع MG والانموذج الخطى (البسيط والعام) له، أصبح من الضروري تقدير معلمات هذا الانموذج والذي سيتم من خلال طريقتين، وكما يأتي:

طريق المربعات الصغرى المعدلة (Adjusted Least Squares Method)

ان أساس طريقة المربعات الصغرى يعتمد على حساب قيم المعالم المجهولة لانموذج الانحدار والتي تجعل مجموع مربعات الأخطاء العشوائية في نهايتها الصغرى، حيث ان قيم المعالم المحسوبة بهذه الطريقة تسمى تقديرات المربعات الصغرى [6,P.140]. (Least Squares Estimators)

لذا تم العمل على استعمال طريقة المربعات الصغرى في حالة توزيع الخطأ MG والحصول على تقديرات المربعات الصغرى المكيفة (LS) بالنسبة لأنموذج خطى عام بتوزيع MG فسيكون كالتالي:

$$U = Y - EY \quad \dots (12)$$

وبتعويض المعادلة (١١) بالمعادلة (١٢) نحصل على:

$$U = Y - X\beta - \underline{\mu} \underline{1} \quad \dots (13)$$

لذلك فإن مجموع مربعات الأخطاء ستكون صيغته الحسابية كالتالي:

$$\sum_{i=1}^n U_i^2 = U'U \quad \dots (14)$$

* بعد تعويض المعادلة (١٣) بما يساويها في المعادلة (١٤) نحصل على:

$$U'U = Y'Y - Y'X\beta - Y'\underline{\mu} \underline{1} - (X\beta)'Y + (X\beta)'X\beta + (X\beta)' \underline{\mu} \underline{1} - \underline{1}'\mu Y + \underline{1}'\mu (X\beta) + \underline{1}'\mu' \mu \underline{1} \quad \dots (15)$$

وبتبسيط المعادلة (١٥) اكتر اذ ان $Y' \underline{\mu} \underline{1} = \underline{1}'\mu (X\beta)$ ، $Y' \underline{\mu} \underline{1} = \underline{1}'\mu' (X\beta)$ و $(X\beta)'Y = Y'X\beta$ سنحصل على الصيغة النهائية لمجموع مربعات الأخطاء وهي كالتالي:

$$U'U = Y'Y - 2\beta'X'Y - 2\underline{1}'\mu'Y + (X\beta)'X\beta + 2\underline{1}'\mu'XB + \underline{1}'\mu' \mu \underline{1} \quad \dots (16)$$

بأخذ التفاضل للمعادلة (١٦) بالنسبة لمتجه معلمات الانحدار (β) وبالمساواة للصفر نحصل على الصيغة التقديرية لـ

$$\frac{\partial U'U}{\partial \beta'} = -2X'Y + 2X'XB$$

$$-2X'Y + 2X'XB = 0$$

$$\hat{\beta} = (X'X)^{-1} X'Y \quad \dots (17)$$

وبأخذ التفاضل للمعادلة (١٦) بالنسبة لـ معلمة الموقع (μ) ومساواتها للصفر سنحصل على الصيغة التقديرية لمعلمة الموقع (μ) وكالتالي:

$$\frac{\partial U'U}{\partial \mu'} = -2\underline{1}'Y + 2\underline{1}'XB + \underline{1}'\mu \underline{1}$$

$$-2\underline{1}'Y + 2\underline{1}'XB + \underline{1}'\mu \underline{1} = 0$$

$$\hat{\mu} = \underline{1}'(Y - XB)(\underline{1}'\underline{1})^{-1} \quad \dots (18)$$

ب- طريقة الامكان الاعظم (Maximum Likelihood Method)

* الاشتاق من قبل الباحثة بالاعتماد على فكرة طريقة المربعات الصغرى الاعتيادية Ols



طريقة احصائية لتقدير خصائص المجتمع من عينة من خلال اختيار قيم المعلمات التي تعظم احتمالية انتقاء هذه العينة إلى المجتمع الذي سحب منه. وتعتبر طريقة الامكان الأعظم أحد طرائق التقدير العامة والواسعة الانتشار، التي تستخدم في كثير من البحوث والتطبيقات حيث تعمل على أساس تعظيم دالة الكثافة الاحتمالية [2,P.17]

ان طريقة الامكان الاعظم هي الطريقة الأكثر شيوعاً للحصول على مقدرات لمعلمات انموذج الانحدار عندما يكون الخطأ يتوزع كاما المختلط ومع ذلك فإن معادلات الامكان لا تمناك حلول واضحة (صيغة صريحة للمقدرات) أي الحصول على صيغة مغلقة لمقدرات المعلمات في اغلب الاحيان لذلك يتم اللجوء الى البرامج من خلال تطبيق الخوارزميات العددية لحل هذه المشكلة.

يمكن كتابة دالة الكثافة الاحتمالية بالنسبة للخطأ العشوائي بتوزيع MG [3,P.3] كالتالي:

$$f(u) = \frac{\theta^2 e^{-\theta \underline{1}' u} [\Gamma \alpha (2 + \theta u' u) + 4 \theta^{\alpha-2} u_i^{\alpha-1}]}{2 \Gamma \alpha (\theta + 3)} \dots (19)$$

وبتعظيم المعادلة (19) ولغرض تقدير المعلمات يستوجب تحويلها الى الشكل الخطى من خلال اخذ اللوغاريتم لطرفها وكالاتى:

$$L = \prod_{i=1}^n f(u)$$

$$\ln L = 2n \ln \theta - \theta \underline{1}' u + \sum_{i=1}^n \ln [\Gamma \alpha (2 + \theta u' u) + 4 \theta^{\alpha-2} u_i^{\alpha-1}] - n \ln [2 \Gamma \alpha (\theta + 3)] \dots (20)$$

وبتعويض المعادلة (13) في المعادلة (20) بما يساويها نحصل على:

$$\begin{aligned} \ln L = 2n \ln \theta - \theta \underline{1}' (Y - X\beta - \mu \underline{1}) \\ + \sum_{i=1}^n \ln [\Gamma \alpha (2 + \theta (Y - X\beta - \mu \underline{1})' (Y - X\beta - \mu \underline{1})) \\ + 4 \theta^{\alpha-2} (Y - X\beta - \mu \underline{1})^{\alpha-1}] - n \ln [2 \Gamma \alpha (\theta + 3)] \dots (21) \end{aligned}$$

* بأخذ التفاضل للمعادلة (21) بالنسبة لكل من معلمة الانحدار ومعلمة الموقع, (β و μ).

$$\frac{\partial U' U}{\partial \beta'} = \sum \frac{\theta X}{\theta(\mu - y + XB) - 2} \dots (22)$$

$$\frac{\partial U' U}{\partial \mu'} = \sum \frac{\theta}{\theta(\mu - y + XB) - 2} \dots (23)$$

نلاحظ من المعادلات (22، 23) تأخذ الشكل الالخطى وبالتالي لا يمكن إيجاد صيغة تقديرية للمعلم (β، μ) عند مساواة المعادلات المذكورة أعلاه للصفر لذا نلجأ الى الخوارزميات التكرارية العددية كخوارزمية نيوتن رافسون.

جـ- خوارزمية سرب الطيور Particle Swarm Algorithm

تستند فكرة خوارزمية سرب الطيور إلى كيفية البحث عن موارد الغذاء، وتكون هذه الكيفية بأسلوب التحرك والتعاون الموجود لدى اسراب الطيور أو قطيع الاسماك، إذ إن اسراب الطيور تجوب اماكن مختلفة بحثاً عن الغذاء، لذا فان بعض الطيور تمتاز بقابليتها على ايجاد موارد الغذاء اكثراً من غيرها وذلك لوجود خاصية تكوينية موجودة فيها وهي تمييز رائحة الطعام بصورة فاعلة وقوية فضلاً عن ذلك فأن لها اسلوباً خاصاً في نقل المعلومات فيما بينها عن اماكن وجود الطعام مما يساعدها على ايجاد افضل موارد الطعام ومن ثم استغلال هذه الموارد للحصول على الطعام الافضل [4,P.180].

آلية عمل الجسيمات داخل السرب هي اولاً تقوم باستكشاف منطقة محددة وهذا ما يسمى بالمرحلة الاولى من عمل الخوارزمية بحسب طبيعة المشكلة وثانياً تقوم هذه الجسيمات بالتكرار حول المنطقة المحددة لإيجاد افضل موارد الطعام بمعنى انها لا تكتفى بمورد واحد للغذاء فلربما يوجد موارد اخرى للغذاء حتى يتضمن لها تحديد افضل الموارد وهذا ما يسمى بالمرحلة الثانية من عمل الخوارزمية وهي عملية التكرار لذا عند تحديد افضل الموارد تقوم باستغلال هذه الموارد للحصول على افضل الحلول ومن ثم تقوم الجسيمات داخل السرب بمرحلة التحديث تبعاً لمواضعها وسرعتها وهذا ما يسمى

* الاشتقاء من قبل الباحثة



بمرحلة التحديث لموقع وسرعة الجسيمات في الخوارزمية وبعدها تقوم الجسيمات بعملية التكرار مرة اخرى حسب ما تقتضيه الحاجه من التكرارات اي ان هناك تكرارات محددة لإيجاد البدائل الاخرى والتي تأتي بالمرتبة الثانية بعد الحل الامثل. [8,P.19]

المبحث الثالث/ الجانب التجربى

وصف مراحل تجربة المحاكاة

تضمنت تجارب المحاكاة عدة مراحل لتقدير معلمات انموذج الانحدار في ظل التوزيع المختلط وكما يأتي:
المرحلة الأولى: مرحلة اختيار القيم الافتراضية وهي مرحلة مهمة تعتمد عليها بقية المراحل وكما يأتي:

- 1- اختيار احجام عينات مختلفة $n = 50,100,150$ وذلك لمعرفة تأثير تقديرات معلمات الانموذج المستعمل بتغيير احجام العينة.
- 2- اختيار قيم افتراضية لمعلمات انحدار گاما المختلط و تكون القيم قريبة من تقدير معلمات انموذج انحدار گاما للبيانات الحقيقية ، اذ قمنا بفرض اربعة قيم لمعلمة الانحدار وكذلك اربعة قيم لمعلمة الشكل والقياس وكما موضح في الجدول الاتي :

جدول (١-٣) القيم الافتراضية للمعلمات

Models	Regression Parameter				Shape Parameter				Scale Parameter			
	β_0	β_1	β_2	β_3	α_0	α_1	α_2	α_3	θ_0	θ_1	θ_2	θ_3
<i>Model</i> ₁	3	2	4	6	3	1	12	4	2	1	5	15
<i>Model</i> ₂	1	5	8	10	2	1.5	9.5	3.5	1.9	3.6	7	14
<i>Model</i> ₃	2	4	6	8	3	6	9	12	4	8	12	16

اذ ان:

β : تمثل معلمة الانحدار

α : تمثل معلمة الشكل للتوزيع گاما المختلط

θ : تمثل معلمة القياس للتوزيع گاما المختلط

المرحلة الثانية:

- توليد المتغير العشوائي للخطأ والذي يتوزع (*Mixed Gamma*) بالمعلمتين (α, θ) باستعمال طريقة الرفض والقبول وكما يأتي:
- ١- توليد المتغير العشوائي والذي يتبع توزيعاً منتظماً بالمدة (٠٠١).
 - ٢- توليد المتغيرين العشوائيين (U_1) الذي يتبع توزيع (*XGamma*) وهو ايضاً توزيع مزيج بين توزيعين ، الأول التوزيع الاسي بعلمة (θ) والثاني توزيع (*Gamma*) بمعلمة قياس (θ) ومعلمة الشكل ثابتة (٣) ، وتوليد المتغير العشوائي (U_2) الذي يتبع توزيع (*Gamma*) الاعتيادي بمعلمة قياس (θ) ومعلمة الشكل (α) .
 - ٣- ينتج توزيع جديد وهو توزيع (*Mixed Gamma*) بمعلمة قياس (θ) ومعلمة الشكل (α) من خلال معلمة الدمج (P) من توزيع المتغير (U_1) ومعلمة الدمج (U_2) من توزيع المتغير (U_2).

المرحلة الثالثة:

تقدير معلمات انموذج الانحدار عندما يتبع الخطأ توزيع گاما المختلط بالمعلمتين (α, θ) في برنامج (*Matlab R2021b*) بطرائق التقدير والموضحة بالجانب النظري وهي:

١. طريقة المربعات الصغرى المعدلة ALS
٢. خوارزمية سرب الطيور Particle Swarm



٣. طريقة الإمكان الأعظم ML

المرحلة الرابعة:

سيتم في هذه المرحلة المقارنة بين طرائق التقدير اذ تم استعمال مقياس متوسط مربعات الخطأ (MSE) وكما يلي:

$$MSE = \frac{\sum_{i=1}^q (\hat{Y}_i - Y_i)^2}{q} \quad \dots (24)$$

اذ ان:

$$i = 1, 2, \dots, q$$

q : تمثل عدد التكرارات لكل تجربة (١٠٠) مرة

\hat{Y}_i : القيمة التقديرية للمتغير التابع

Y_i : القيمة الحقيقية للمتغير التابع

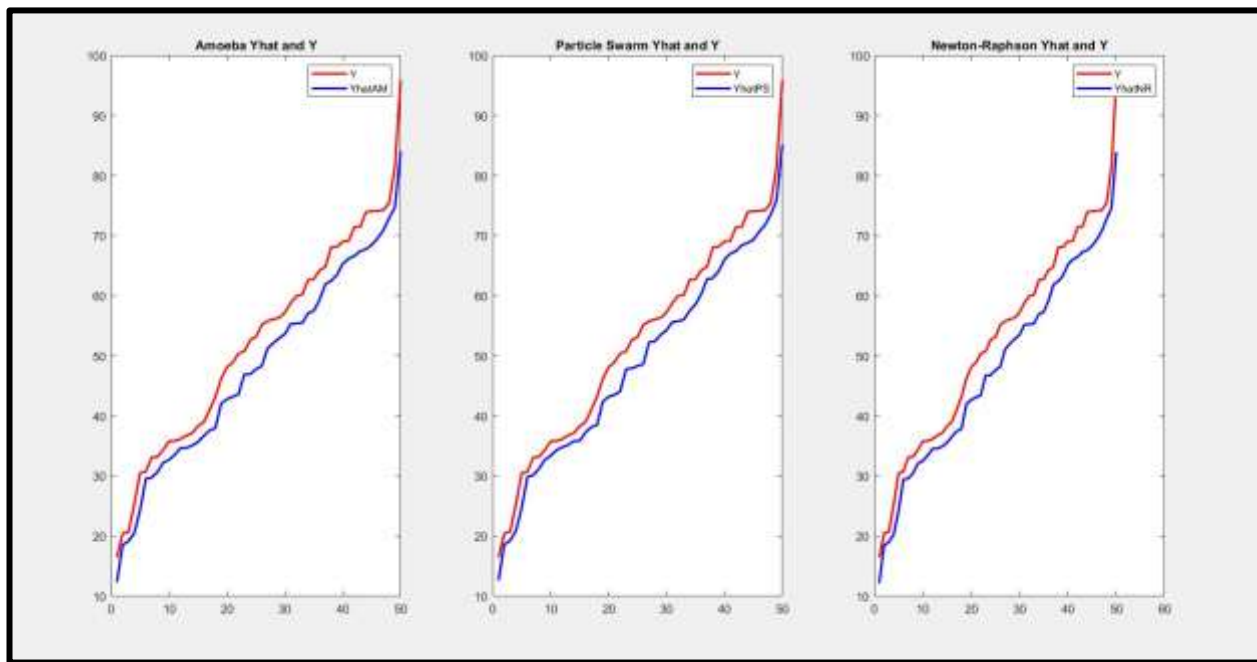
تحليل نتائج المحاكاة:النموذج الأول:

سيتم هنا تقدير معلمات الانموذج وبالطرائق المستعملة الثلاث وبحجم عينة (١٥٠,١٠٠,٥٠).
نلاحظ من الاشكال (٤،٣،٢) ان هناك تقارب بين القيم التقديرية والقيم المفترضة وبكلفة احجام العينات المستعملة وبطرائق التقدير الثلاثة.

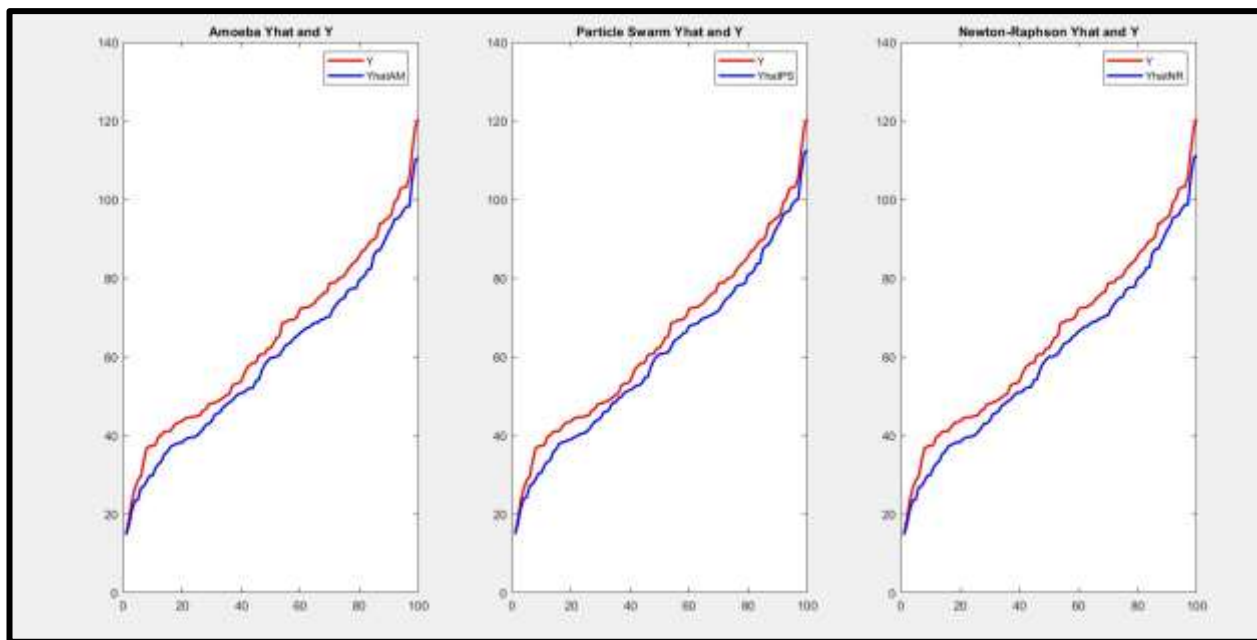
نلاحظ من الجدول (١) ان نتائج المحاكاة التي اظهرت الينا بان هنالك تفوق لخوارزمية سرب الطيور عند حجم عينة (١٠٠,٥٠) اذ بلغت قيمة (MSE) (١٩,٤٥٣، ١٥,٩٢٩) على التوالي وهو اقل قيمة من قيمة الـ (MSE) بالنسبة لطريقة المربعات الصغرى المعدلة وطريقة الإمكان الأعظم ML اما بالنسبة لحجم العينة (١٥٠) فقد كانت طريقة الإمكان الأعظم ML هي الأفضل مقارنة بالطريقتين الأخرى اذ بلغت قيمة (MSE) (١٤,٨٩٤).

جدول (١) متوسط مربعات الخطأ (MSE) للأنموذج الأول وباحجام عينات (١٥٠,١٠٠,٥٠).

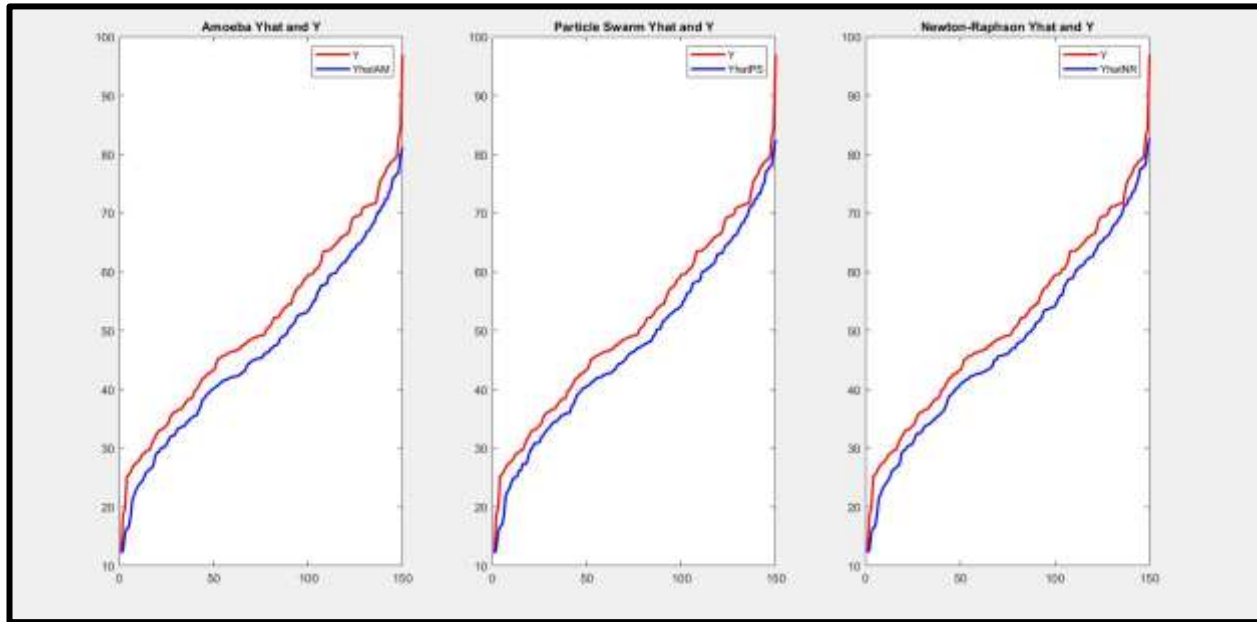
n \ Method	ALS	Particle Swarm	ML	Best
50	20.945	15.929	22.116	Particle Swarm
100	29.227	19.453	26.597	Particle Swarm
150	٢٠,٩٩٧	١٥,٤٥٦	١٤,٨٩٤	ML



الشكل (٢) يبين القيم الحقيقية للمتغير المعتمد والقيم التقديرية، بالنسبة للمتغيرات التوضيحية (المستقلة) للأنموذج الأول بطريقة (ML، Particle Swarm، ALS) ولحجم عينة (٥٠)



الشكل (٣) يبين القيم الحقيقية للمتغير المعتمد والقيم التقديرية، بالنسبة للمتغيرات التوضيحية (المستقلة) للأنموذج الأول بطريقة (ML، Particle Swarm، ALS) ولحجم عينة (١٠٠)



الشكل (٤) يبين القيم الحقيقية للمتغير المعتمد والقيم التقديرية، بالنسبة للمتغيرات التوضيحية (المستقلة) للأنموذج الاول
بطريقة (ALS، Particle Swarm، ML) ولحجم عينة (١٥٠)

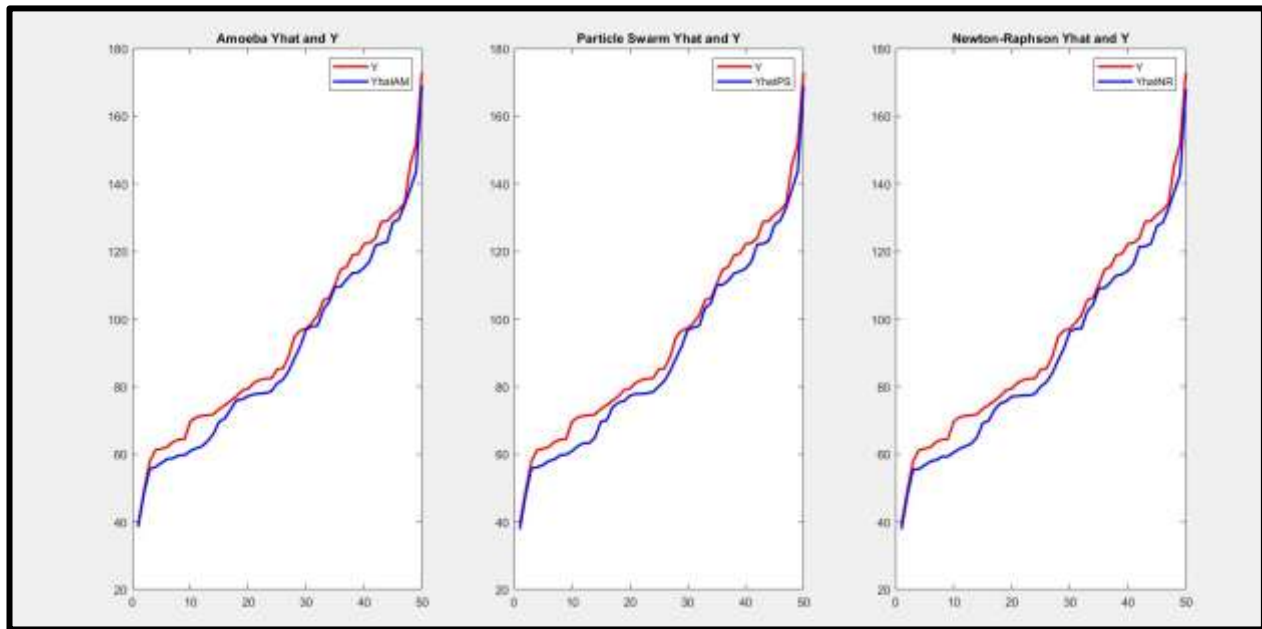
٢- الانموذج الثاني:

نلاحظ من الاشكال (٧،٦،٥) ان هناك تقارب بين القيم التقديرية والقيم الحقيقة (الافتراضية) وبكافية احجام العينات المستعملة وبطرق التقدير الثلاثة.

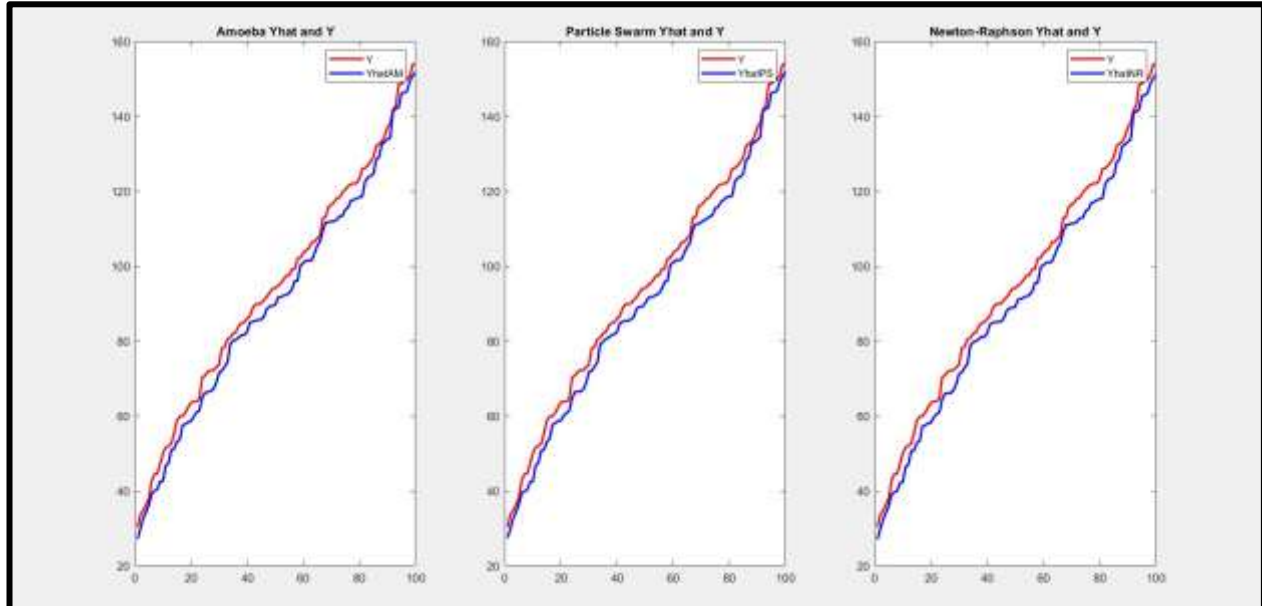
كما نلاحظ ايضاً من نتائج المحاكاة بان هنالك تفوق لخوارزمية سرب الطيور عند حجم عينة (١٠٠,١٠٠) اذ بلغت قيمة (MSE) (١٦,٥٠٩) على التوالي وهو اقل قيمة من قيمة ALS (١٦,٥٠٠) بالنسبة لطريقة ALS وطريقة الإمكان الاعظم ML اما بالنسبة لحجم العينة (٥٠) فقد كانت طريقة ALS هي الأفضل مقارنة بالطرق الأخرى اذ بلغت قيمة (MSE) (٢٢,١٩٥) أي ان هناك تقارب بالنتائج بين خوارزمية سرب الطيور (Particle Swarm) وبين طريقة (ML) ولل أحجام الثلاث (١٥٠,١٠٠,٥٠).

جدول (٢) متوسط مربعات الخطأ (MSE) للأنموذج الثاني وباحجام عينات (١٥٠,١٠٠,٥٠).

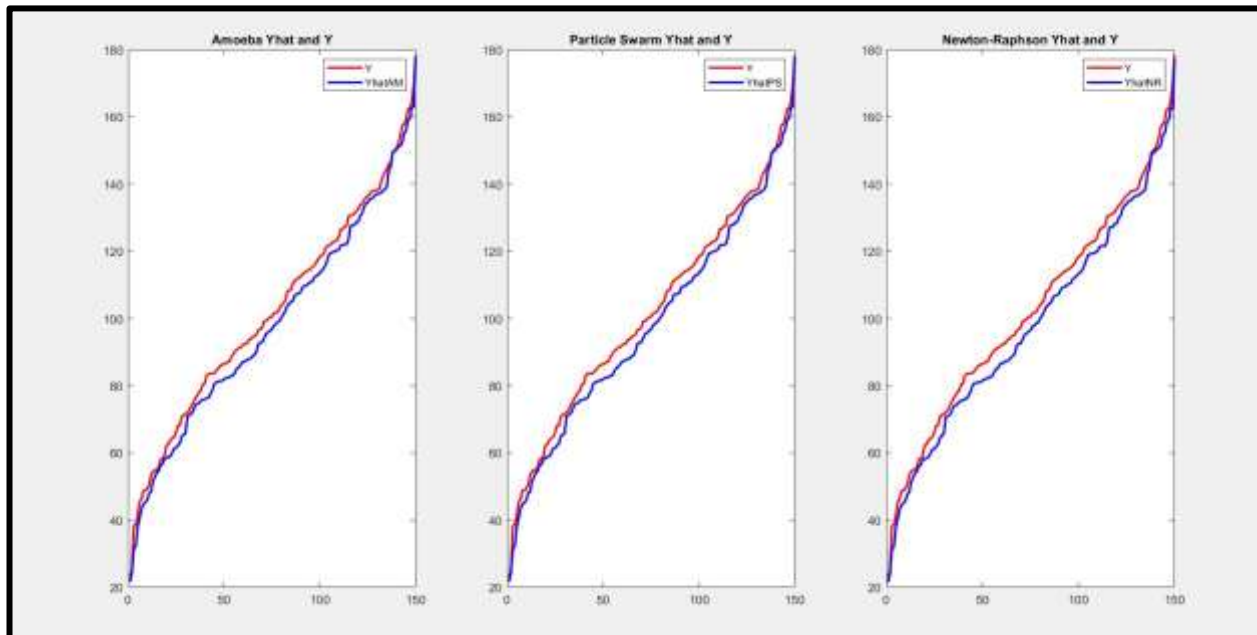
n \ Method	ALS	Particle Swarm	ML	Best
50	٢٢,١٩٥	٢٢,٧٨٦	٢٧,٧٣٨	ALS
100	١٦,٥٣٤	١٦,٥٠٩	٢٠,١٨٣	Particle Swarm
150	١٦,٥١٦	١٦,٥٠٠	١٩,٦٣٥	Particle Swarm



الشكل (٥) يبين القيم الحقيقة للمتغير المعتمد والقيم التقديرية، بالنسبة للمتغيرات التوضيحية (المستقلة) للأنموذج الثاني
بطريقة (ML، Particle Swarm، ALS) ولحجم عينة (٥٠)



الشكل (٦) يبين القيم الحقيقة للمتغير المعتمد والقيم التقديرية، بالنسبة للمتغيرات التوضيحية (المستقلة) للأنموذج الثاني
بطريقة (ML، Particle Swarm، ALS) ولحجم عينة (١٠٠)



الشكل (٧) يبين القيم الحقيقة للمتغير المعتمد والقيم التقديرية، بالنسبة للمتغيرات التوضيحية (المستقلة) للأنموذج الثاني
بطريقة (ALS، Particle Swarm، ML) ولحجم عينة (١٥٠)

الأنموذج الثالث:

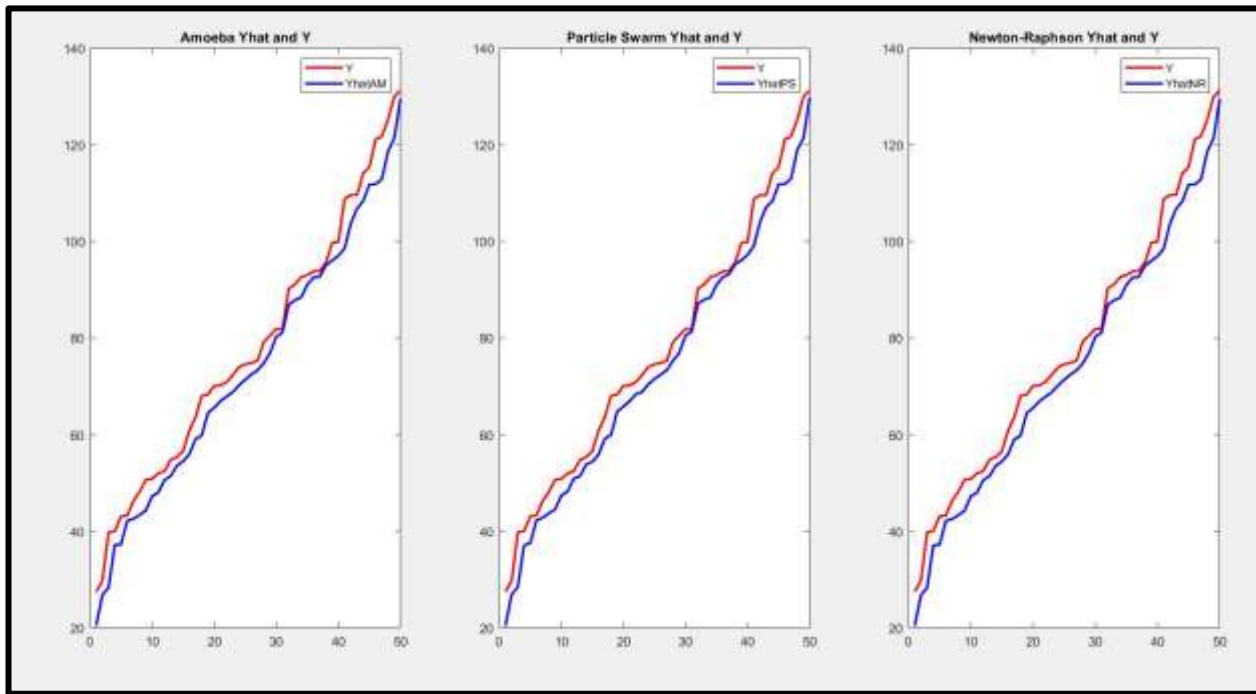
-٣

سيتم هنا تدريب معلمات الأنماذج وبالطراائق المستعملة الثالث وبحجم عينة (١٥٠، ١٠٠، ٥٠) نلاحظ من الأشكال (١٠، ٩، ٨) ان هناك تقارب بين القيم التقديرية والقيم المفترضة وبكلفة احجام العينات المستعملة وبطراائق التقدير الثلاثة.

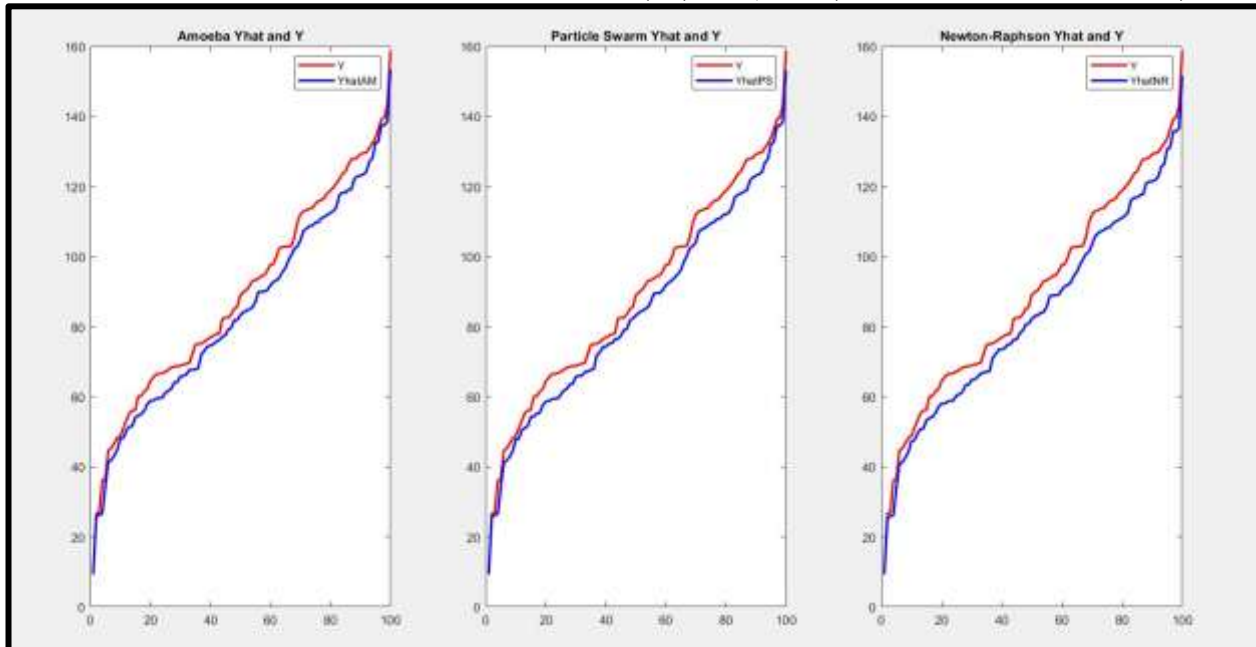
وكذلك نلاحظ من الجدول (٣) ان نتائج المحاكاة التي اظهرت اليانا ان هناك تفوق لخوارزمية سرب الطيور (Particle Swarm) عند حجم عينة (٥٠، ٥٠) اذ بلغت قيمة (MSE) له (١٢,٧٩٦) على الترتيب وهي اقل قيمة من قيمة الـ (MSE) بالنسبة لطريقة الإمكان الاعظم (ML) وطريقة (ALS)، اما حجم العينة (١٠٠) فنلاحظ ان هناك زيادة في قيم مقياس معيار المقارنة (MSE) لجميع الطراائق مقارنة بحجم العينة (٥٠) ثم بدأ بالتناقص في حجم العينة (١٥٠) وان افضل طريقة هي طريقة (ALS) عند حجم عينة (١٠٠) لأنها تمتلك اقل (MSE).

جدول (٣) متوسط مربعات الخطأ (MSE) للأنموذج الثالث وباحجام عينات (١٥٠، ١٠٠، ٥٠).

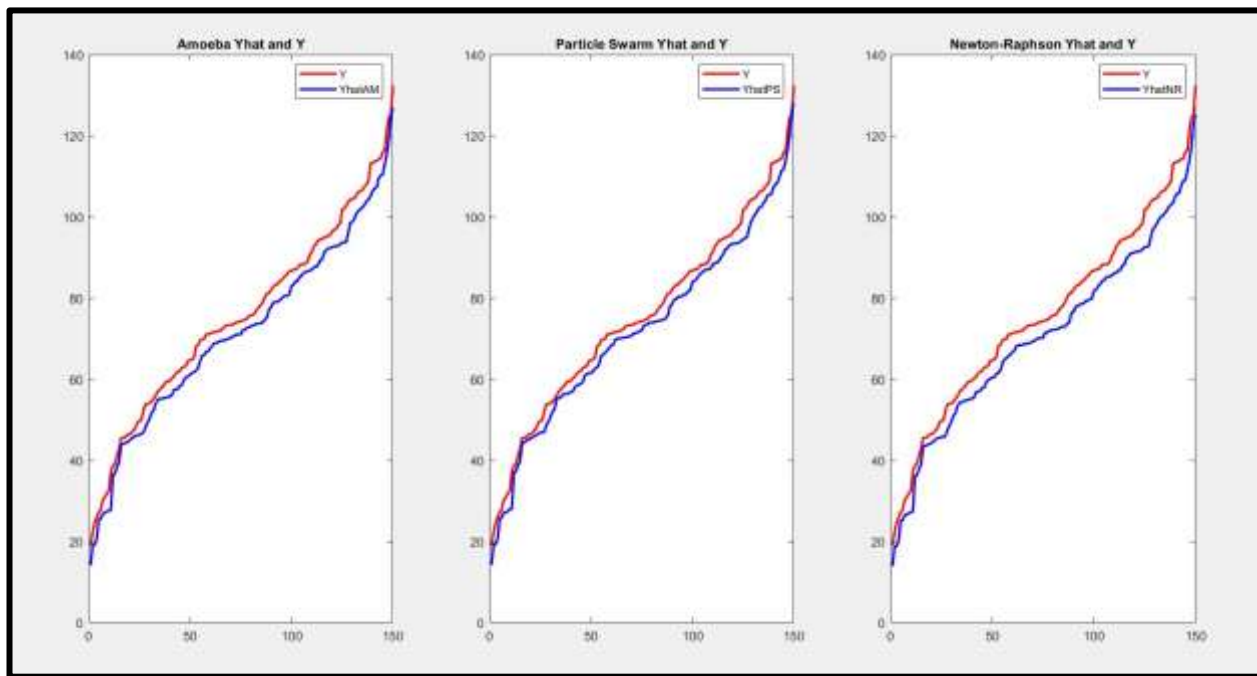
n \ Method	ALS	Particle Swarm	ML	Best
50	٢٣,١٢١	٢١,٩١٩	٢٣,٥٢	Particle Swarm
100	٢٥,٨٢١	٢٧,٧٩٦	٣٧,٨٢١	ALS
150	١٨,٢٠١	١٢,٧٩٦	٢٦,٦٣٢	Particle Swarm



الشكل (٨) يبين القيم الحقيقة للمتغير المعتمد والقيم التقديرية، بالنسبة للمتغيرات التوضيحية (المستقلة) للأنموذج الثالث بطريقة (ML، Particle Swarm، ALS) ولحجم عينة (٥٠)



الشكل (٩) يبين القيم الحقيقة للمتغير المعتمد والقيم التقديرية، بالنسبة للمتغيرات التوضيحية (المستقلة) للأنموذج الثالث بطريقة (ML، Particle Swarm، ALS) ولحجم عينة (١٠٠)



الشكل (١٠) يبين القيم الحقيقة للمتغير المعتمد والقيم التقديرية، بالنسبة للمتغيرات التوضيحية (المستقلة) لأنموذج الثالث بطريقة (ALS، Particle Swarm، ML) ولحجم عينة (١٥٠) **تفصيل مخرجات الجداول آنفًا:**

١. عند حجم العينة (٥٠) كانت خوارزمية سرب الطيور (Particle Swarm) لتقدير معادلة الانحدار افضل وبنسبة ٦٧٪ لأنها تملك اقل (MSE) في الأنماذج الأول والثالث اما النسبة المتبقية ٣٣٪ فقد كانت طريقة (ALS) هي الأفضل في الأنماذج الثاني.
٢. عند حجم العينة (١٠٠) كانت خوارزمية سرب الطيور (Particle Swarm) لتقدير معادلة الانحدار افضل وبنسبة ٦٧٪ لأنها تملك اقل (MSE) في الأنماذج الأول والثاني اما النسبة المتبقية ٣٣٪ فقد كانت طريقة (ALS) هي الأفضل في الأنماذج الثالث.
٣. عند حجم العينة (١٥٠) كانت خوارزمية سرب الطيور (Particle Swarm) لتقدير معادلة الانحدار افضل وبنسبة ٦٧٪ لأنها تملك اقل (MSE) في الأنماذج الثاني والثالث اما النسبة المتبقية ٣٣٪ فقد كانت طريقة الإمكان الاعظم (ML) هي الأفضل في الأنماذج الأول.
٤. الرسوم البيانية توضح التقارب بين طرائق التقدير كافة التي تم استعمالها في تقدير معادلة الانحدار للتوزيع المختلط ($gamma - Xgamma$) والقيم الحقيقة لها وما يفسر ملائمة كافة الطرائق التي تم استعمالها لتقدير معادلة الانحدار في ظل التوزيع المختلط ($gamma - Xgamma$).
٥. تتفاصل القيم الخاصة بالمقاييس الاحصائي متوسط مربعات الخطأ (MSE) كلما زاد حجم العينة وهذا يطابق النظرية الإحصائية لهذا المؤشر.

المبحث الرابع / الجانب التطبيقي

وصف البيانات:

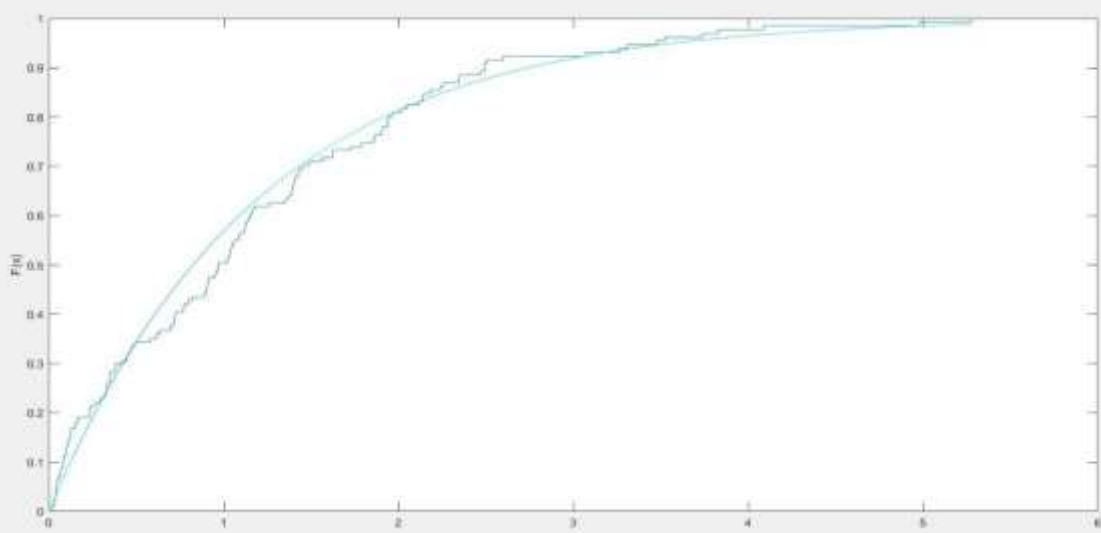
تم الاعتماد على بيانات حقيقة حول العرض النقدي ، حيث توجد الكثير من المتغيرات التي تؤثر على هذا المتغير ، وان في هذا البحث اخذنا بعض المتغيرات وذلك باستشارة بعض المختصين في هذا المجال وبالاعتماد على المصادر حيث تم اخذ عينة حسب البيانات المتاحة للسنوات (٢٠١١-٢٠٢١) أي لمدة ١٠ سنوات وعلى حسب الأشهر ، وان المتغير المعتمد (Y) يمثل العرض النقدي والمتغير (X_1) يمثل العملاة خارج البنوك والمتغير (X_2) يمثل المضاعف النقدي والمتغير (X_3) يمثل الودائع الجارية.

**اختبار البيانات:**

لمعرفة فيما اذا البيانات الخاصة بالعرض النقي (Y) تتبع توزيع گاما المختلط اذ ان توزيع (Y) هو ذاته توزيع الخطأ فقد تم اختبار بيانات المتغير المعتمد (Y) للبيانات الحقيقة باستعمال برنامج (MATLAB R2021b) لاختبار حسن المطابقة وتبين ان العرض النقي (Y) يتبع توزيع (Mixed Gamma distribution) وكما موضح في الجدول (٤) والشكل (١١).

جدول (٤) يبين اختبار Kolmogorov-Smirnov للمتغير التابع باستعمال برنامج (MATLAB R2021b)

Mixed Gamma				
Kolmogorov-Smirnov				
Sample Size	132			
Statistic	0.6565			
P-Value	1.9394e-50			
α	0.1	0.05	0.02	0.01
Critical Value	0.1056	0.1173	0.1312	0.1407
Reject?	No	No	No	No



الشكل (١١) يبين الدالة التجميعية لتوزيع گاما المختلط للمتغير المعتمد (Y) للبيانات الحقيقة باستعمال برنامج (MATLAB R2021b)

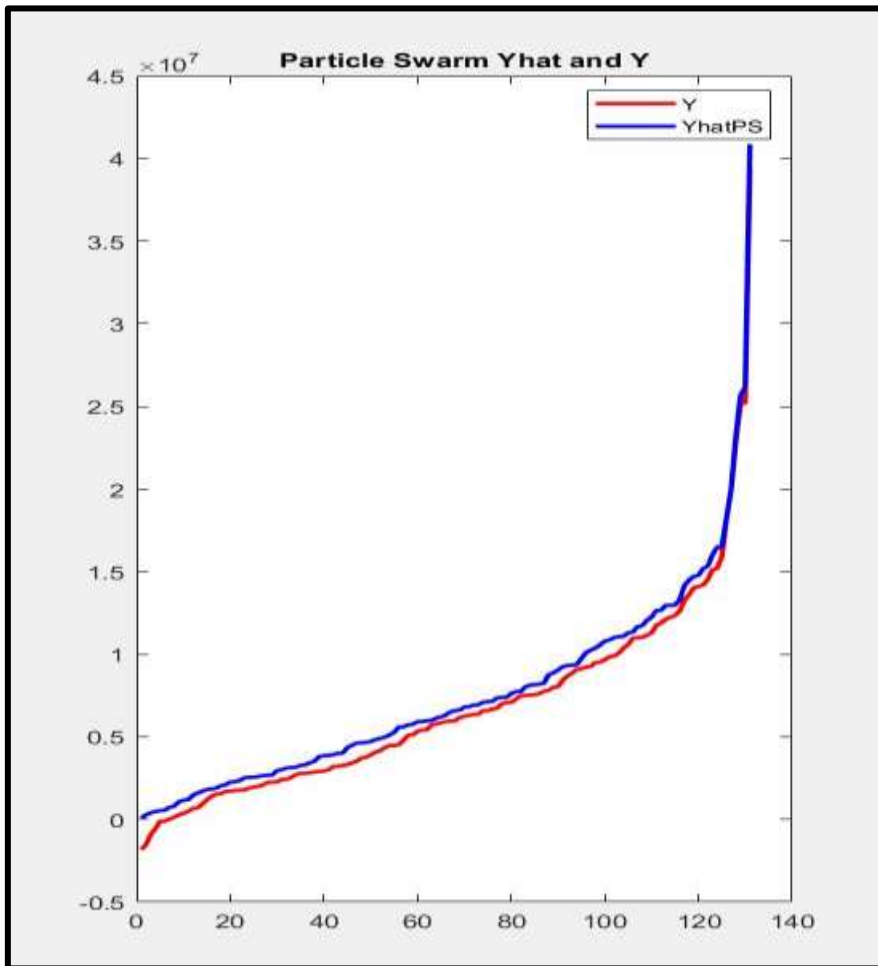
تحليل النتائج:

بعدما تم تعريف ووصف البيانات الحقيقة ، تم استعمال برنامج (MATLAB R2021b) للحصول على تقدير معلمات انموج اندhar گاما المختلط باستخدام البيانات الحقيقة ، حيث سيتم استخدام افضل الطرائق المستخدمة في الجانب التجريبي وكانت افضل طريقة للتقدير هي خوارزمية (Particle Swarm) ، وتم الحصول على النتائج التالية :

جدول (٥) يوضح القيم التقديرية للمعلمات عند البيانات الحقيقة

Regression Parameters				Shape Parameters				Scale Parameters			
$\hat{\beta}_0$	$\hat{\beta}_1$	$\hat{\beta}_2$	$\hat{\beta}_3$	$\hat{\alpha}_0$	$\hat{\alpha}_1$	$\hat{\alpha}_2$	$\hat{\alpha}_3$	$\hat{\theta}_0$	$\hat{\theta}_1$	$\hat{\theta}_2$	$\hat{\theta}_3$
٠,٨٦٥	٠,٦٠٢	٠,٥٩٤	٠,٥٤٥	٥,٩٠٧	١,٥٥٧	٥,٦٧٠	٥,٩٨٧	٥,٣٢٨	٣,٣٢٨	٤,٣٢٨	٤,٣٢٨

والشكل (١٢) يوضح القيم التقديرية والقيم الحقيقة للبيانات الحقيقة باستخدام خوارزمية (Swarm Particle)



$$\hat{Y}_i = 0.8650 + 0.6027X_1 + 0.5949X_2 + 0.5457X_3 \quad \dots (25)$$

ونلاحظ من خلال معادلة الانحدار (٢٥) أعلاه بان جميع المتغيرات المستقلة الثلاثة (العملة خارج النقود، المضاعف النقدي، الودائع الجارية) لها تأثير إيجابي وعلاقة طردية مع المتغير التابع (العرض النقدي) اذ ان تغير وحدة واحدة في العملة خارج النقود سيؤدي الى تغير في العرض النقدي بنسبة ٦٠٪ اما اذا كان هناك تغير وحدة واحدة في المضاعف النقدي سيؤدي الى تغير في العرض النقدي بنسبة ٥٩٪ اما فيما يخص التغير في الودائع الجارية سينتج عنه تغير في العرض النقدي بنسبة ٥٥٪ تقريباً

الاستنتاجات:

١. نستنتج من الاشكال (٢، ١٠، ٥٠) ان جميع تقديرات المعلمات قريبة من المعلمات المفترضة لقيم الانموذج وبكافة احجام العينات (٥٠، ١٠٠، ١٥٠) وباستعمال طرائق التقدير الثلاثة.
٢. باستعمال طرائق التقدير المستعملة في البحث اظهرت لدينا نتائج المحاكاة بان قيم مقياس معيار المقارنة متوسط مربعات الخطأ (MSE) يتناقص بازدياد حجم العينة وهذا مايدل على صحة النظرية الاحصائية.
٣. من خلال تجارب المحاكاة اظهرت النتائج وباستعمال متوسط مربعات الخطأ (MSE) بان أفضل طريقة لتقدير انموذج انحدار گاما المختلط هي خوارزمية سرب الطيور (*Particle Swarm*).
٤. من خلال اختبار (*Kolmogorov – Smirnov*) نلاحظ ان المتغير التابع (Y) يتبع توزيع (*Mixed gamma*) وهو ذاته لتوزيع الخطأ العشوائي في معادلة الانحدار.
٥. من خلال الجدول (٣-٤) نلاحظ ان نتائج التطبيق العملي اظهرت لدينا تقديرات جيدة لمعلمات الانموذج ونلاحظ ايضاً ان المتغيرات المستقلة لها تأثير إيجابي وتغير طردي مع متغير الاستجابة.

**الوصيات:**

١. استعمال خوارزمية سرب الطيور (Particle Swarm) في تقدير معلمات انحدار گاما المختلط كونها اعطت تقديرات مرنه وكفؤة في التقدير.
٢. استعمال طرائق تقدير اخرى في تقدير معلمات انحدار گاما المختلط وتطبيق خوارزميات الذكاء الصناعي الأخرى او الطرائق الحصينة.
٣. يمكن اخذ عوامل ومتغيرات اخرى لم تذكر في هذا البحث كالاحتياطي النقدي والرقم القياسي للأسعار ... الخ والتي تؤثر على العرض النقدي وتطبيقاتها في البحث المستقبلي.
٤. توظيف التوزيع نفسه في عملية التقدير لمعلمات أنموذج الانحدار بوجود أحدى مشاكل أنموذج الانحدار الخطى المتعدد (عدم تجانس التباين ، الارتباط الذاتي ، التعدد الخطى)
٥. توظيف التوزيع المستخدم في هذه الدراسة (Mixed gamma) في عملية التقدير لمعلمات أنموذج الانحدار غير الخطى باستخدام الطرائق التي تم استخدامها في هذه الدراسة.

المصادر:

١. كاظم، اموري هادي و الدليمي، محمد مناجد عيفان (١٩٨٨) "مقدمة في تحليل الانحدار الخطى" ، كلية الادارة والاقتصاد.
٢. كاظم، اموري هادي. و مسلم، باسم شلبيه. (٢٠٠٢) القياس الاقتصادي المتقدم-النظرية والتطبيق، بغداد.
3. Altun, E., Korkmaz, M. Ç., El-Morshedy, M., & Eliwa, M. S. (2020). "The extended gamma distribution with regression model and applications", AIMS Mathematics, 6(3): 2418–2439.
4. Bai, Q. (2010). "Analysis of particle swarm optimization algorithm". Computer and information science, 3(1), 180
5. da Silva, R. V., Gomes-Silva, F., Ramos, M. W. A., & Cordeiro, G. M. (2015). "A new extended gamma generalized model", International Journal of Pure and Applied Mathematics, 100(2), 309-335.
6. Khalaf, Kamal Alwan, Ali, Omar Abdul Muhsin (2015) "Fundamentals of Financial Statistics" , Al-Jazeera Bureau for Printing and Publishing
7. Ortega, E. M., Cordeiro, G. M., Pascoa, M. A., & Couto, E. V. (2012). "The log-exponentiated generalized gamma regression model for censored data", Journal of Statistical Computation and Simulation, 82(8), 1169-1189.
8. Rini, D. P., Shamsuddin, S. M., & Yuhaniz, S. S. (2011). "Particle swarm optimization: technique, system and challenges", International journal of computer applications, 14(1), 19-26.
9. Saha, M., Yadav, A. S., Pandey, A., Shukla, S., & Maiti, S. S. (2019). "The extended xgamma distribution", arXiv preprint arXiv:1909.01103
10. Sen, S., Maiti, S. S., & Chandra, N. (2016). "The xgamma distribution: statistical properties and application", Journal of Modern Applied Statistical Methods, 15(1), 38.